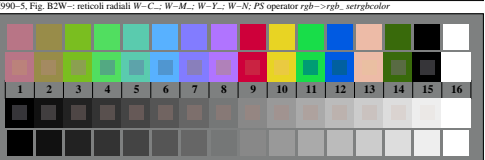




TI990-3, Fig. B1W-: motivo floreale, 14 prova colori CIE i 2 + 16 grigio passi (sf); PS operator 4 colorimage

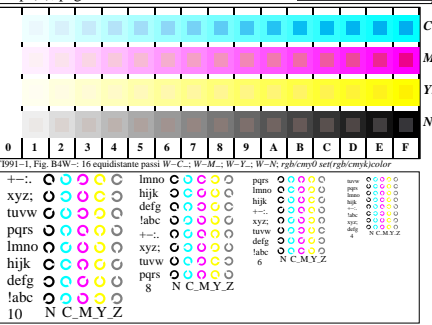


reticolli radiali W-C- reticolli radiali W-M- reticolli radiali W-Y- reticolli radiali W-N reticolli radiali W-Z



TI990-7, Fig. B3W-: 14 prova colori CIE i 2 + 16 grigio passi (sf); $rgb/cmky0 \operatorname{set}(rgb/cmky)color$

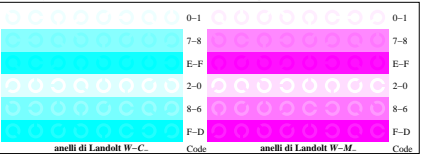
Grafico TUB-TI99; 2(ISO/IEC 15775 & ISO/IEC TR 24705)
 Tavola dei colori cromatici CMY



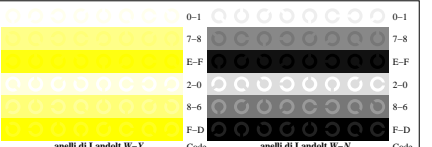
TI991-1, Fig. B4W-: 16 equidistante passi $W-C_-$; $W-M_-$; $W-Y_-$; $W-N$; $rgb/cmky0 \operatorname{set}(rgb/cmky)color$

+-.:	imno	immo	immo	immo	immo	immo	immo								
xyz;	hijk														
tuvw	!abc														
pqrs	+-.	+-.	+-.	+-.	+-.	+-.	+-.	+-.	+-.	xyz;	xyz;	xyz;	xyz;	xyz;	xyz;
lmno	tuvw	defg	defg	defg	defg	defg	defg								
hijk	defg	!abc	!abc	!abc	!abc	!abc	!abc								
	8									N	C	M	Y	Z	
	10									N	C	M	Y	Z	

TI991-3, Fig. B5W-: codice i Landolt anelli N ; C_- ; M_- ; Y_- ; Z ; PS operator $rgb \rightarrow rgb_setrgbcolor$



TI991-5, Fig. B2W-: reticolli radiali $W-C_-$; $W-M_-$; $W-Y_-$; $W-N$; PS operator $rgb \rightarrow rgb_setrgbcolor$



TI991-7, Fig. B7W-: anelli di Landolt $W-Y_-$; $W-N$; PS operator $rgb \operatorname{setrgbcolor}$

Input: $rgb/cmky \rightarrow w/rgb/cmky_-$
 Output: nessun cambiamento